



## سنتز نانوپودر کامپوزیت آلمینا-مولایت به روش سل-ژل با استفاده از نمک آلمینیوم و سیلیکای کلوئیدی

علی صداقت<sup>۱</sup>, احسان طاهری نساج<sup>۲\*</sup>, گیان دمنیک سرارو<sup>۳</sup>, ریکارد چکات<sup>۳</sup> و تورج عبادزاده<sup>۱</sup>

- ۱- پژوهشگاه مواد و انرژی، پژوهشکده سرامیک، گروه کامپوزیت و نانوپودر
- ۲- دانشگاه تربیت مدرس، دانشکده فنی و مهندسی، بخش مهندسی مواد
- ۳- دانشگاه ترنتو، دانشکده مهندسی، بخش مهندسی مواد و تکنولوژی صنعتی

تاریخ ثبت اولیه: ۱۳۹۲/۰۸/۲۱، تاریخ دریافت نسخه اصلاح شده: ۱۳۹۲/۱۰/۲۵، تاریخ پذیرش قطعی: ۱۳۹۲/۱۱/۱۲

### چکیده

با استفاده از روش سل-ژل می‌توان به توزیع یکنواخت مولایت در زمینه آلمینا دست یافت. در این کار پژوهشی، نانوپودر آلمینا-مولایت با استفاده از  $\text{AlCl}_3 \cdot 6\text{H}_2\text{O}$  و سیلیکای کلوئیدی به روش سل-ژل سنتز شد. بر اساس الگوهای XRD پیش ماده‌های آلمینا-مولایت ۱۵ درصد حجمی که در دماهای مختلف کلسینه شدند، آلمینای میانی (گاما، کاپا) و فازهای سیلیکا (کوارتز و تریدیمیت) در ۹۰۰ °C تشکیل شدند. سپس استحاله فازی به آلمینای آلفا و مولایت در محدوده دمایی ۱۳۰۰-۱۰۰۰ °C انجام شد. سطح ویژه نانوپودر کلسینه شده در دمای ۹۰۰ °C  $10.5 \pm 0.4 \text{ m}^2/\text{g}$  بدست آمد. در نهایت نانوپودر توسط TEM مورد ارزیابی قرار گرفت.

واژه‌های کلیدی: نانوپودر، آلمینا، مولایت، سل-ژل، استحاله فازی.

### ۱- مقدمه

نمی‌کند. کامپوزیت آلمینا-مولایت در مقایسه با آلمینای خالص می‌تواند مقاومت بیشتری در برابر شوک حرارتی داشته باشد [۱۰، ۱۱]. همچنین این کامپوزیت در مقایسه با مولایت خالص خواص مکانیکی بهتری می‌تواند داشته باشد [۸، ۹]. با کنترل شبکه متخلخل در کامپوزیت آلمینا-مولایت خاصیت جذب صوت تقویت شده است و عایق‌های صوتی با خواص مکانیکی تقویت شده مطرح شده‌اند [۱۱]. روش‌های مختلفی برای آماده‌سازی پودرهای سرامیکی بسیار ریز و خالص از جمله تبخیر، پلاسماء، اسپری درانینگ (Spray Drying)، فریز درانینگ، هیدرоторمال (Hydrothermal) و هیدرولیز به عنوان یک روش تر وحود دارد [۱۲]. روش سل-ژل نسبت به سایر روش‌ها مزایای ذیل را دارد.

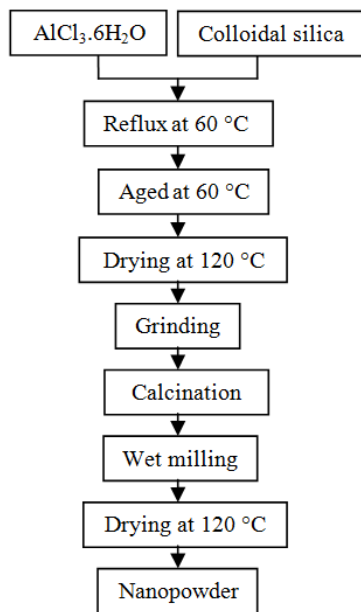
آلuminia به علت خواص فیزیکی، مکانیکی و شیمیایی (سختی و مقاومت به سایش بالا، نقطه ذوب بالا، هدایت حرارتی پایین، مقاومت الکتریکی و شیمیایی بالا) کاربردهای متنوعی مانند استفاده در نازل، ساینده، آستر کوره، محافظ سیم ترموموپل و زیرلایه دارد [۱-۳]. همچنین مولایت در زمینه آلمینا موجب کاهش مدول یانگ و ضریب انبساط حرارتی کامپوزیت آلمینا و در نتیجه تقویت مقاومت کامپوزیت در برابر شوک حرارتی می‌شود [۴-۶]. اما مولایت سختی و چقرمگی پایینی دارد. البته به ازای مقداری کم مولایت به عبارت دیگر تا ۱۵ درصد حجمی، مقداری سختی و چقرمگی آلمینا تغییری

\* عهده‌دار مکاتبات: احسان طاهری نساج

نشانی: تهران، بزرگراه جلال آل احمد، دانشگاه تربیت مدرس

تلفن: ۰۲۱-۸۲۸۸۴۳۹۰، دورنگار، ۰۰، پست الکترونیکی: taheri@modares.ac.ir

سل-ژل سنتز شد. ویژگی‌های مواد اولیه به ترتیب در جدول‌های ۱ و ۲ ارائه شده‌اند. مطابق با نسبت استوکیومتری مولایت و مناسب با درصد حجمی در نظر گرفته شده برای مولایت (۱۵ درصد حجمی)، محلول آبی نمک آلمینیوم با مقدار لازم سیلیکای کلوئیدی در دمای ۱۲۰ °C به مدت ۲۴ h رفلاکس شد. سپس ژل حاصل در ۱۲۰ °C به مدت ۲۴ h قرار گرفت تا خشک شود. سپس توسط هاون عقیق خرد شد. پیش ماده آلمینا-مولایت در دماهای مختلف به مدت ۲ h (۱۷۵۰ °C) کلسینه شد. پودرهای کلسینه شده با استفاده از گلوله‌های آلمینایی و اتانول مطلق آسیاب شدند.



شکل ۱: فلوچارت سنتز نانوپودر کامپوزیت آلمینا.

جدول ۱: ویژگی‌های نمک آلمینیوم محصول شرکت Merck به شماره ۱۰۱۰۸۴.

AlCl <sub>3</sub> .6H <sub>2</sub> O	فرمول شیمیایی
۲۴۱/۴۳ g/mol	جرم مولی
۱۳۳۰ g/l (۲۰ °C)	حلالت در آب
~۱۰۰ °C	نقطه ذوب
~۲/۴۰ g/cm <sup>۳</sup> (۲۰ °C)	چگالی
~۲/۵ (۵۰ g/l, H <sub>2</sub> O, ۲۰ °C)	pH مقدار

آنالیز حرارتی ژل خشک شده پیش ماده آلمینا-مولایت تحت جریان ثابت هوا با نرخ ۱۰ °C/min تا دمای

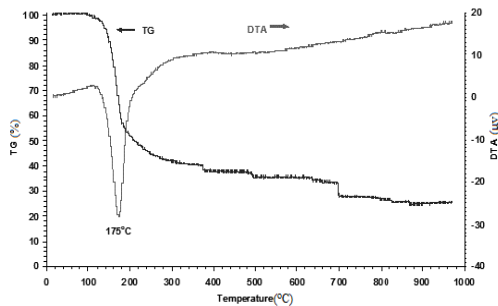
سرامیکی با خلوص بسیار بالا می‌توان بدست آورد، به علت روش‌های خالص‌سازی همچون تقطیر یا تبلور مجدد که باید روی مایع یا آلكوکسیدها اعمال شود. سرامیک‌های چند جزئی (Multicomponent) و کامپوزیتی با همگنی و یکنواختی بسیار بالا می‌توان بدست آورد، زیرا انرژی و در نتیجه دمای سنتز پایین است. در ضمن امکان تهیه انواع مختلف مواد، برای مثال لایه‌های نازک، پوشش‌ها، الیاف وجود دارد، زیرا کنترل شرایط واکنش آسان است [۱۲، ۱۳]. مولایت (3Al<sub>2</sub>O<sub>3</sub>.2SiO<sub>2</sub>) یکی از فازهای بلوری در سیستم دوتایی Al<sub>2</sub>O<sub>3</sub>-SiO<sub>2</sub> است که تحقیقات بسیار گران قیمتی روی آن صورت گرفته است، زیرا مولایت انبساط حرارتی کم، پایداری حرارتی و شیمیایی خوب و مقاومت بالایی در برابر خرزش دارد [۱۴]. برای سنتز مولایت از مخلوط سل و نمک به عنوان مواد اولیه استفاده شده است. این روش‌ها در مقایسه با مخلوط سل‌ها دارای مزایایی است، زیرا بجای اختلاط ساده ذرات، ذرات کامپوزیتی تحت شرایط خاصی تشکیل می‌شوند. ذرات نمک روی سطح ذرات سل می‌توانند تشکیل شوند [۱۵]. برخی از محققین [۱۶-۱۸] از یک روش دوفازی استفاده نموده‌اند که سل بوهمیت در میان TEOS محلول در الکل پراکنده شد و با حرارت دادن، ژل تشکیل شد. آنالیز حرارتی این ژل یک پیک گرمایش در حدود ۱۳۵۰ °C به سبب تشکیل مولایت نشان داد. لی و همکارانش [۱۹] و کیم و همکارانش [۲۰] اثرات اسیدیتۀ پیش ماده و دمای سینترینگ بر سنتز و مورفولوژی مولایت با استفاده از روش همرسوبی نیترات آلمینیوم و سل سیلیکای کلوئیدی را بررسی نمودند. آنها مولایت را بالای ۱۲۰۰ °C بدست آوردن و مورفولوژی آن وابسته به اسیدیتۀ است. اما هدف از کار تحقیقاتی حاضر سنتز و تولید نانوپودر آلمینا-مولایت با استفاده از کلرید آلمینیوم آبدار و سیلیکای کلوئیدی مبتنی بر تکنیک سل-ژل است.

## ۲- فعالیت‌های تجربی

### ۱-۲- مواد اولیه

پودر آلمینا-مولایت با استفاده از AlCl<sub>3</sub>.6H<sub>2</sub>O حل شده در آب مقطر و سیلیکای کلوئیدی مطابق شکل ۱ به روش

این نمونه نیز در این محدوده دمایی یک کاهش وزنی را نشان می‌دهد. این واکنش گرمائیگر مربوط به خروج ترکیبات کلر و آب است [۲۲، ۲۳]. اما کاهش وزن در حدود  $850^{\circ}\text{C}$  به پایان می‌رسد. بنابراین بهتر است تکلیس در دمای  $900^{\circ}\text{C}$  انجام شود.



شکل ۲: نمودارهای TG و DTA بدست آمده برای ژل خشک شده پیش ماده آلومینا-مولایت.

شکل ۳ الگوهای XRD پیش ماده آلومینا-مولایت کلسینه شده در دماهای مختلف ( $900\text{--}1750^{\circ}\text{C}$ ) را نشان می‌دهد. فازهای آلومینای میانی (γ، κ) در  $900^{\circ}\text{C}$  مشاهده می‌شوند. لازم به ذکر است در تحقیق دیگری [۲۳] که نمد آلومینایی بوسیله کلربید آلومینیوم آبدار و سیلیکای کلوئیدی تهیه شد، فاز آمورف در  $800^{\circ}\text{C}$  به آلومینای میانی (γ) تبدیل شد. در ادامه، با توجه به شکل ۳ آلومینای آلفا و برخی پیکهای کوارتز و تریدیمیت در کنار آلومینای میانی در  $1000^{\circ}\text{C}$  مشاهده می‌شود. پس سیلیکای کلوئیدی قبل از واکنش با آلومینا جهت تشکیل مولایت به شکل کوارتز و تریدیمیت متبلور شد. سپس در دماهای بالاتر فازهای کریستالی آلومینا و سیلیکا با هم واکنش دادند و مولایت تشکیل شد، زیرا مطابق با شکل ۳ در  $1300^{\circ}\text{C}$  اثری از فازهای کریستالی سیلیکا نیست، بلکه فقط فازهای کریستالی مولایت و آلومینا مشخص شدند. اما در  $1750^{\circ}\text{C}$  پیکهای مولایت مشاهده نمی‌شوند. دامنه پایداری مولایت توسط عوامل مؤثر بر واکنش تجزیه حرارتی آن (دما، زمان،  $P_{\text{H}_2\text{O}}$  و  $P_{\text{total}}$ ) محدود می‌باشد و این واکنش در دماهای بالا، زمان طولانی، فشار بالای بخار آب، فشار پایین اتمسفر یا اتمسفر احیائی گزارش شده است [۱۵].

$1000^{\circ}\text{C}$  توسط دستگاه PL-STA 1500 صورت گرفت. آزمون پراش اشعه ایکس برای آنالیز فازی پودرهای کلسینه شده با استفاده از پرتوی  $\text{CuK}\alpha$  انجام شد. آنالیز جذب و دفع نیتروژن بر روی پیش ماده آلومینا-مولایت کلسینه شده در دمای  $900^{\circ}\text{C}$  سانتیگراد توسط دستگاه ASAP 2010 انجام شد. سپس منحنی‌های ایزوترم و توزیع اندازه تخلخل بدست آمد و سطح ویژه به روش BET محاسبه شد.

جدول ۲: ویژگی‌های سیلیکای کلوئیدی محصول شرکت Aldrich به شماره ۴۲۰۸۴۰۴

فرمول شیمیایی	
$\text{SiO}_2$	
$60/0.8 \text{ g/mol}$	جرم مولی
سوسپانسیون $40\text{--}50\%$ وزنی در آب	غلاظت
$\sim 135 \text{ m}^2/\text{g}$	سطح ویژه
$1/295 \text{ g/ml}$ at $25^{\circ}\text{C}$	چگالی
۹/۱	pH مقدار

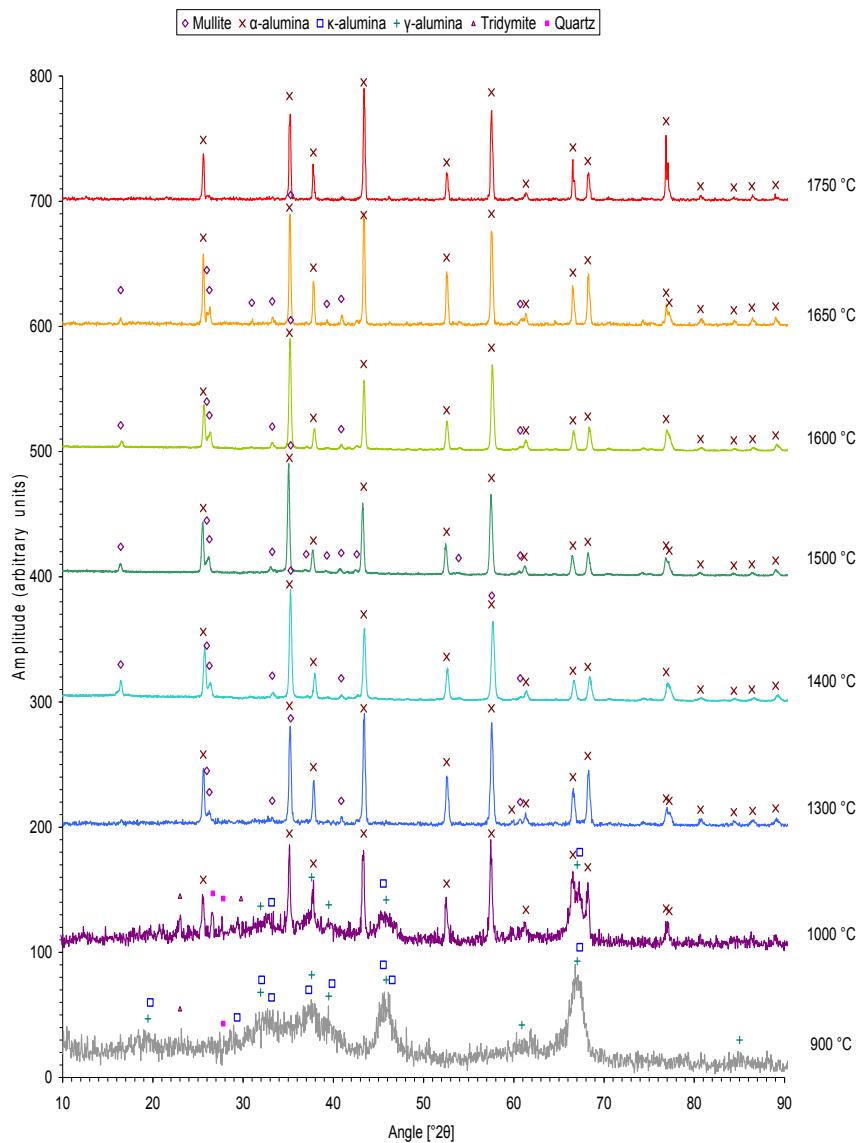
در مورد ذرات غیرمتخلخل، متوسط اندازه ذره پودر (d) با داشتن سطح ویژه با استفاده از رابطه ذیل محاسبه می‌شود:

$$d = \frac{SF}{SSA \times \rho} \quad (1)$$

عامل وابسته به شکل ذرات است که برای ذرات کروی برابر با ۶ است. SSA سطح ویژه پودر و ρ دانسیته ظاهری پودر است. دانسیته ظاهری پیش ماده آلومینا-مولایت کلسینه شده در  $900^{\circ}\text{C}$  توسط پیکنومتر گازی با گاز هلیوم (Micromeritics, model 1035) سنجیده شد. مشاهده ریزساختار این پودر بوسیله میکروسکوپ الکترونی عبوری (Philips EM208S, 100 kV) انجام شد.

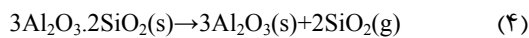
### ۳- نتایج و بحث

شکل ۲ آنالیز حرارتی (STA) ژل خشک شده پیش ماده آلومینا-مولایت در دمای  $120^{\circ}\text{C}$  و مدت زمان ۲۴ ساعت را نشان می‌دهد. منحنی DTA این ژل خشک شده در  $175^{\circ}\text{C}$  یک پیک اندوترم را نشان می‌دهد و منحنی TG



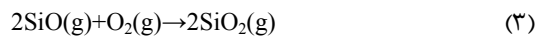
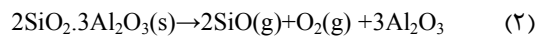
شکل ۳: الگوهای XRD پیش ماده آلمینا-مولایت در دماهای مختلف.

بطور خلاصه:



شکل ۴ ایزوترم جذب و دفع نیتروژن (a) و توزیع تخلخل (b) پیش ماده آلمینا-مولایت کلسینیه شده در ۹۰۰ °C را نشان می‌دهد. خلاصه این آنالیز در جدول ۳ ارائه شده است. در ضمن این جدول دانسیته ظاهری این پودر و متوسط اندازه این ذرات که بوسیله رابطه ۱ محاسبه شده

برای مثال، سطوح نمونه مولایت که در اتمسفر هلیم بین ۱۶۵۰ تا ۱۸۰۰ °C حرارت داده شده است با تشکیل آلمینای آلفا و فضاهای خالی مربوط به سیلیکون تخریب می‌شود. بنابراین می‌توان نتیجه گرفت مولایت در ۱۷۵۰ °C پیرو واکنش‌های ذیل تجزیه می‌شود [۱۵]:



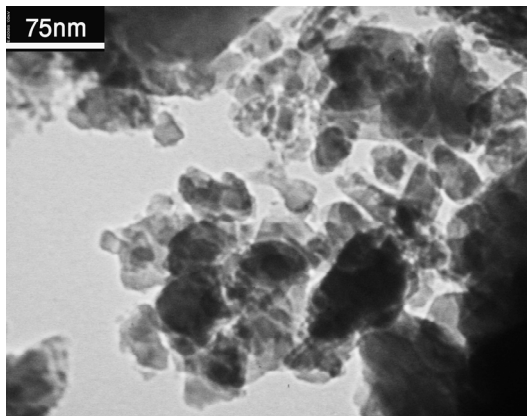
حین تکلیس این پودر، ذرات آلمینا به صورت ورقه‌هایی در کنار هم قرار گرفته و اگریگیت تشکیل می‌دهند و در میان آنها خل و فرجی به شکل شکاف باقی می‌ماند. این واقعیت می‌تواند توضیحی بر اختلاف بین متوسط اندازه ذرات (۱۵ nm) که بوسیله رابطه ۱ محاسبه شد با متوسط اندازه تخلخل‌ها (۱۹ nm) از یک طرف و اندازه ذراتی که در شکل ۵ مشاهده می‌شود از طرف دیگر باشد.

جدول ۳: ویژگی‌های پیش ماده آلمینا-مولایت

کلسینه شده در ۹۰۰ °C به مدت ۲ h

BET سطح ویژه	$10.5/4 \pm 0.4 \text{ m}^2/\text{g}$
دانسیته ظاهری	$3.646 \pm 0.007 \text{ g/cm}^3$
متوسط اندازه ذرات	۱۵ nm
سطح ویژه تخلخل‌ها	$10.6 \text{ m}^2/\text{g}$
حجم تخلخل	$0.50 \text{ cm}^3/\text{g}$
قطر متوسط تخلخل‌ها	۱۹ nm

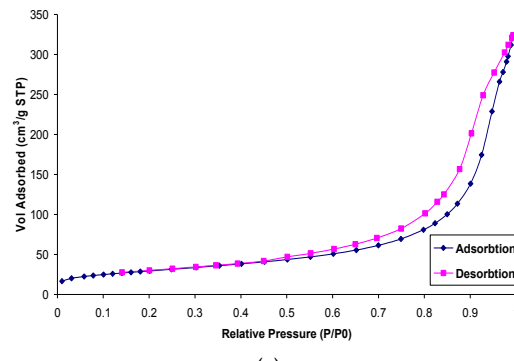
مطابق با نسبت استوکیومتری مولایت و متناسب با درصد حجمی در نظر گرفته شده برای مولایت محلول آبی نمک آلمینیوم با مقدار لازم سیلیکای کلوئیدی در دمای ۱۲۰ °C به مدت ۲۴ h رفلaks شد. سپس ژل حاصل در ۱۲۰ °C به مدت ۲۴ h قرار گرفت تا خشک شود. آنگاه توسط هاون عقیق خرد شد. پیش ماده آلمینا-مولایت در دماهای مختلف به مدت ۲ h (۹۰۰-۱۷۵۰ °C) کلسینه شد. پودرهای کلسینه شده با استفاده از گلوله‌های آلمینیایی و اتانول مطلق آسیاب شدند.



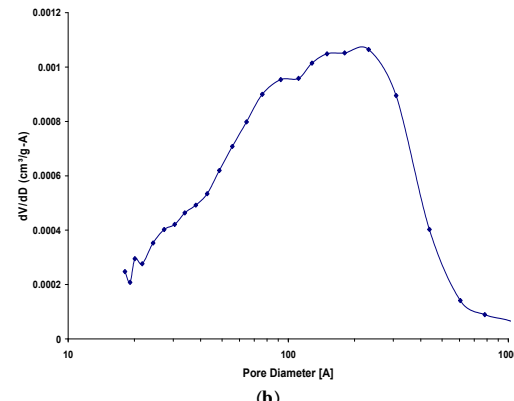
شکل ۵. تصویر TEM از پیش ماده آلمینا-مولایت کلسینه شده در ۹۰۰ °C به مدت ۲ h.

است را نیز نشان می‌دهد. سطح ویژه پودر و دانسیته ظاهری آن به ترتیب  $10.5/4 \pm 0.4 \text{ m}^2/\text{g}$  و  $3.646 \pm 0.007 \text{ g/cm}^3$  است. در ضمن متوسط اندازه ذرات ۱۵ nm بدست آمد. البته تصویری که بوسیله TEM میدان روشن از این پودر بدست آمد (شکل ۵) نشان دهنده ذراتی با اندازه‌هایی در محدوده ۱۰-۸۰ nm است. مطابق با شکل ۴، ایزوترم این پودر از گروه IIB است و تخلخل‌های مزو وجود داردند [۲۳].

وجود حلقه هیسترزیس در نمودار ایزوترم جذب و دفع نیتروژن به علت وجود نیروی مویینگی تخلخل‌ها می‌باشد. شکل این منحنی و لوپ هیسترزیس که از نوع H3 است مؤید حضور اگریگیت‌هایی از ذرات ورقه‌ای با حضور تخلخل‌های غیرصلب (Non-rigid) به شکل شکاف (Slit-shaped) است.



(a)



(b)

شکل ۴: پیش ماده آلمینا-مولایت کلسینه شده در ۹۰۰ °C به مدت ۲ h، (a) ایزوترم جذب و دفع نیتروژن و (b) توزیع اندازه تخلخل.

از آنجاییکه ذرات آلمینا معمولاً در چنین فرآیندهایی به شکل ورقه‌ای در می‌آیند، نتیجه گرفته می‌شود که در

#### ۴- نتیجه‌گیری

در این تحقیق، نانوپودر آلومینا-مولایت با استفاده از کلربید آلومینیوم آبدار و سیلیکای کلوئیدی به روش سل-ژل سنتز شد. خلاصه نتایج کار به شرح ذیل می‌باشد:

- مولایت در  $1300^{\circ}\text{C}$  تشکیل و در  $1750^{\circ}\text{C}$  تجزیه و در نهایت آلومینای آلفا در دمای بالا تشکیل شد.
- سطح ویژه BET و متوسط اندازه ذرات پودر کامپوزیت آلومینا، کلسینه شده در  $900^{\circ}\text{C}$  به مدت ۲ h، به ترتیب  $15\text{ nm}$  و  $105/4 \pm 0/4\text{ m}^2/\text{g}$  می‌باشد.

#### مراجع

- [5] C. Aksel, *Ceramics International*, **29**, 2003, 183.
- [6] H. Schneider, J. Schreuer, B. Hildmann, *J. Eur. Ceram. Soc.*, **28**, 2008, 329.
- [7] A. Esharghawi, C. Penot, F. Nardou, *J. Eur. Ceram. Soc.*, **29**, 2009, 31.
- [8] M. Schehl, L.A. Diaz, R. Torrecillas, *Acta Materialia*, **50**, 2002, 1125.
- [9] F.C. Zhang, H.H. Luo, S.G. Roberts, *J. Mater. Sci.*, **42**, 2007, 6798.
- [10] G. Ruan, Zh. Zhang, M. Yin, *Rare Metals*, **30**, 2011, 506.
- [11] M. Carlesso, *J. Eur. Ceram. Soc.*, **33**, 2013, 2549.
- [12] C.W. Won, *Colloids and Surfaces A: Physicochemical and Engineering Aspects*, **131**, 1998, 161.
- [13] S. Sakka, K. Kamiya, *J. Non-Cryst. Solids*, **42**, 1980, 403.
- [14] T. Ebazdadeh, *Materials Science and Engineering A*, **355**, 2003, 56.
- [15] H. Schneider, S. Komarneni, "Mullite", Wiley, Weinheim, 2005.
- [16] B.E. Yoldas, *Amer. Ceram. Soc. Bull.*, **59**, 1980, 479.
- [17] D.W. Hoffman, R. Roy, S. Komarneni, *J. Am. Ceram. Soc.*, **67**, 1984, 468.
- [18] G.M. Anilkumar, P. Mukundan, A.D. Damodaran, K.G. Warrier, *Mat. Lett.*, **33**, 1997, 117.
- [19] J.E. Lee, J.W. Kim, Y.G. Jung, C.Y. Jo, U. Palk, *Ceramics Intern.*, **28**, 2002, 935.
- [20] J.W. Kim, J.E. Lee, Y.G. Jung, C.Y. Jo, J.H. Lee, U. Paik, *J. Mat. Res.*, **18**, 2003, 81.
- [21] F. Rouquerol, J. Rouquerol, K. Sing, "Adsorption by Powders and Porous Solids", Academic Press, London, 1999.
- [22] S.A. Hassanzadeh-Tabrizi, E. Taheri-Nassaj, *Journal of Alloys and Compounds*, **494**, 2010, 289.
- [23] A. Sedaghat, E. Taheri-Nassaj, R. Naghizadeh, *Journal of Non-Crystalline Solids*, **352**, 2006, 2818.